

بِسْمِ اللَّهِ الرَّحْمَنِ الرَّحِيمِ



دانشگاه صنعتی اصفهان

دانشکده مهندسی مکانیک

## شبیه‌سازی جریان حول بالگرد در حضور روتور

پایان نامه کارشناسی ارشد تبدیل انرژی  
روح الله اسطوئی

استاد راهنما  
دکتر احمد صداقت



دانشگاه صنعتی اصفهان

دانشکده مهندسی مکانیک

پایان نامه کارشناسی ارشد رشته مهندسی مکانیک گرایش تبدیل انرژی آقای روح الله ارس طویل  
تحت عنوان

## شبیه سازی جریان حول بالگرد در حضور روتور

در تاریخ ۱۳۸۷/۴/۱۸ توسط کمیته تخصصی زیر مورد بررسی و تصویب نهایی قرار گرفت.

دکتر احمد صداقت

۱- استاد راهنمای پایان نامه

دکتر احمد رضا پیشه ور

۲- استاد مشاور پایان نامه

دکتر علی اکبر عالم رجبی

۳- استاد داور

دکتر محسن ثقفیان

۴- استاد داور

دکتر مهدی کشمیری

سرپرست تحصیلات تکمیلی دانشکده

کلیه حقوق مادی مترقب بر نتایج مطالعات،  
ابتكارات و نوآوریهای ناشی از تحقیق موضوع  
این پایان‌نامه متعلق به دانشگاه صنعتی اصفهان است.

## فهرست مطالب

<u>شماره صفحه</u>	<u>عنوان</u>
شش	فهرست مطالب
هفت	فهرست نمادها
۹	چکیده
۱۰	فصل اول: مقدمه
۱۰	۱- تاریخچه
۱۳	۲- دورنمایی از پروژه
۱۵	فصل دوم: شبیه سازی روتور با استفاده از عبارتهای چشمۀ موتمتیم
۱۵	۱- کلیات روش
۱۶	۲- انواع توزیع چشمۀ
۲۱	۳- توضیحاتی راجع به شرایط پیچیده‌تر
۲۳	فصل سوم: شرایط آزمایش
۲۴	۱- هندسه بالگرد
۲۸	۲- مشخصات روتور
۲۹	۳- نقاط داده برداری برای بالگرد ROBIN
۳۰	فصل چهارم: معادلات حاکم و شرایط مرزی
۳۰	۱- معادلات حاکم
۳۱	۲- شرایط شبیه سازی
۳۳	۳- شرایط مرزی بر روی جسم جامد
۳۵	فصل پنجم: نتایج و نتیجه‌گیری
۳۶	۱- تاثیر عوامل مختلف در شبیه سازی جریان حول بالگرد
۴۰	۲- بررسی روتور
۴۱	۳- بررسی میدان جریان بر روی بالگرد و اطراف آن
۴۲	۴- نتیجه‌گیری و پیشنهادات
۶۲	فهرست مراجع
۶۳	پیوست

## فهرست نمادها

$dQ$	مولفه داخل صفحه روتور نیروی وارد بر مقطع	
$2.3262 m^2, \pi R^2$	روتور، نیوتن	سطح دیسک روتور، $A$
$dT$	مولفه عمود بر صفحه روتور نیروی وارد بر مقطع	گام دوره‌ای طولی روتور، درجه $A_1$
$dv$	روتور، نیوتن	گام دوره‌ای عرضی روتور، درجه $B_1$
$dr$	حجم سلول، متر مکعب	ثابت مورد استفاده در تعریف فوق بیضی $C$
$d\psi$	پهنه‌ای شعاعی سلول، متر	ثابت‌های مورد استفاده در تعریف تحلیلی $C_1, C_2, \dots, C_8$
	پهنه‌ای سمتی سلول، رادیان	بدنه بالگرد
$\vec{e}_x, \vec{e}_y, \vec{e}_z$	بردارهای یکه محورهای مختصات	$\frac{F_x}{1/2 \rho_\infty V_{ref}^2 A}$ ضریب نیروی محوری، $C_A$
$F_x$	نیروی وارد بر بالگرد در راستای محور $x$ ، نیوتن	ضریب درگ $c_d$
$F_z$	نیروی وارد بر بالگرد در راستای محور $z$ ، نیوتن	ضریب لیفت $c_l$
$H$	تابع مورد استفاده در تعریف بدنه بالگرد	$\frac{F_z}{1/2 \rho_\infty V_{ref}^2 A}$ ضریب نیروی عمودی، $C_N$
$h$	ضخامت ناحیه روتور، متر	$\frac{p - p_\infty}{1/2 \rho_\infty V_{ref}^2}$ ضریب فشار، $C_p$
$l$	طول مرجع بدنه (نصف طول طراحی شده)،	
$0.99949m$		
$l_{ref}$	طول مرجع محاسبات، $R_{12}$	$\frac{Q}{1/2 \rho_\infty V_{ref}^2 Al_{ref} \sigma}$ ضریب گشتاور شافت، $C_Q/\sigma$
$N$	تعداد تیغه‌های روتور	$\frac{T}{1/2 \rho_\infty V_{ref}^2 A \sigma}$ ضریب تراست، $C_T/\sigma$
$\bar{n}$	بردار یکه عمود بر ناحیه روتور منتنسب به هر سلول	نیروی لیفت وارد بر هر مقطع روتور، نیوتن $dd$
$p$	فشار نسبی استاتیک محلی، پاسکال	نیروی درگ وارد بر مقطع روتور، نیوتن $dL$
$p_\infty$	فشار استاتیک جریان آزاد، پاسکال	

## فهرست نمادهای یونانی

$\vec{p}$  بردار یکه در خلاف جهت حرکت روتور منسوب به

هر سلول

زاویه حمله هندسی، درجه	$\alpha_g$	گشتاور شافت روتور، نیوتن متر	$Q$
زاویه حمله القاشه، درجه	$\alpha_i$	مختصات شعاعی مورد استفاده در تعریف بدن	$r$
زاویه شافت روتور (مثبت: لبه حمله بالا)، درجه	$\alpha_s$	فاصله شعاعی تا مرکز روتور، متر	$r$
پیچش روتور، درجه	$\alpha_t$	بردار شعاعی منسوب به سلول محاسباتی	$\bar{r}$
$\frac{V_{\infty}}{R\Omega}$ نسبت پیشروش،	$\mu$	شعاع روتور، $m$	$R$
لرجه مولکولی، پاسکال ثانیه	$\mu$	مختصات شعاعی در تعریف فوق بیضی، بخش ۱-۳	$R$
لرجه ادی، پاسکال ثانیه	$\mu_t$	شعاع بریدگی ریشه روتور	$R_i$
$\theta$ زاویه گام روتور در موقعیت ۷۵ درصدی طول		شعاع روتور	$R_o$
روتور، درجه		عبارت چشممه معادله مومنتم $i$	$S_i$
گام کلی روتور، درجه	$\theta_c$	نیروی تراست روتور، نیوتن	$T$
$k g / m^3$ چگالی جریان آزاد هوا،	$\rho_{\infty}$	$m / s$ اندازه سرعت هوا نسبت به مقطع روتور،	$V_r$
صلیت روتور، ۰.۰۹۸	$\sigma$	$\sqrt{2} R \Omega$ سرعت مرجع،	$V_{ref}$
زاویه سمتی در تعریف فوق بیضی	$\Phi$	$m / s$ سرعت جریان آزاد هوا	$V_{\infty}$
زاویه سمتی در تعریف بدن بالگرد	$\varphi$	تابع مورد استفاده در تعریف بدن بالگرد	$W$
زاویه سمتی روتور، درجه	$\psi$	متغیرهای موجود در تعریف فوق بیضی	$X, Y$
$209.44 rad / s$ سرعت زاویه‌ای روتور،	$\Omega$	مختصات مورد استفاده در تعریف بدن	$x, y, z$
بردار سرعت زاویه‌ای شافت	$\vec{\Omega}$	تابع مورد استفاده در تعریف بدن بالگرد	$Z_0$

## چکیده

پیش‌بینی دقیق برهمکنش روتور و بدنه در طراحی و تحلیل بالگردهای مدرن، ضروری است. هنگامی که بخواهیم آزمایش‌های بسیار پرهزینه تونل باد را کاهش دهیم، شیوه‌سازی محاسباتی اهمیت فوق العاده‌ای پیدا می‌کند. در این تحقیق، جریان حول بالگرد در حضور روتور با فرض حالت پایا شیوه‌سازی شده‌است. در این کار، به جای مدل کردن روتور به عنوان جسم جامد در حال دوران، اثر دینامیکی متوسط زمانی آن توسط اضافه کردن عبارتهای چشمۀ به معادلات مومنت در یک حجم حلقوی در شبکه حل که متناظر با روتور است، به وجود آمده است. عبارتهای چشمۀ به صورت یکنواخت، خطی و همچنین با کمک تئوری المان پرۀ بر روی سلولهای متناظر با روتور در شبکه حل، توزیع شده است. نتایج تونل باد بر روی یک بالگرد مدل به صورت تجربی به‌دست آمده است. در این تحقیق، جریان حول این بالگرد، در شش وضعیت مختلف از نسبت پیشروش و ضربی تراست روتور حل شده است. ضربی فشار به‌دست آمده از روش‌های مختلف بارگذاری روتور با نتایج تجربی مقایسه شده است. دقت نتایج حاصل از توزیع‌های یکنواخت و خطی جملات چشمۀ مومنت، مناسب نبوده است. با استفاده از توزیع جملات چشمۀ مومنت توسط تئوری المان پرۀ به همراه تصحیحاتی بر روی زوایای گام روتور، ضربی فشار بر روی بدن بالگرد به نحو قابل قبولی پیش‌بینی شده است. همچنین نتایج حاصل از شیوه‌سازی برای تغییرات نیروی تراست روتور با قدرت آن با روتور آزمایشگاهی همخوانی مناسبی دارد. بالگرد مدل بر روی یک پایه نصب شده است. بررسی‌ها نشان می‌دهد که هرچند در نظر گرفتن پایه در سرعشهای پایین جریان آزاد تاثیر چندانی بر نتایج نداشته است اما با افزایش سرعت جریان آزاد هوا به مقدار ۴۰ متر بر ثانیه، حضور پایه در شیوه‌سازی موجب شده است ضربی فشار به‌دست آمده بر روی بدن، در نواحی پایین دست آن به‌شدت کاهش باید که همین وضعیت در نتایج تجربی نیز مشاهده می‌شود. ضمناً، در نظر گرفتن پایه در شبکه حل موجب بهبود پیش‌بینی نیروهای وارد بر بدن بالگرد شده است.

## فصل اول

### مقدمه

#### ۱-۱- قاریچه

تحلیل میدان جریان پیچیده حول بالگرد، به بهبود طراحی آن کمک می‌کند. هنگامی که بخواهیم آزمایش‌های بسیار پرهزینه تونل باد را کاهش دهیم، شیوه سازی محاسباتی اهمیت فوق العاده ای پیدا می‌کند. دیدگاه محاسباتی مورد استفاده به موضوع شیوه سازی بستگی دارد که می‌تواند از بررسی رفتار جزئی تیغه‌های رotor تا آثار متوسط زمانی رotorها بر یکدیگر یا بر روی بدنه، تغییر کند.

در ابتدای راه، افرادی به دنبال شیوه سازی جریان حول رotor تنها بوده‌اند. در اینجا اندکی به پدیدارشناسی جریان حول رotor می‌پردازیم. در پرواز رو به جلو در تیغه ای که رو به جلو حرکت می‌کند، ترکیب سرعت دورانی Rotor و سرعت پرواز ممکن است باعث شود ناحیه ای صوتی در نوک تیغه‌ها ایجاد شود که همراه با تشکیل بسته-های فراصوت و امواج ضربه‌ای باشد. قسمتهای داخلی (ریشه) تیغه ای که رو به عقب حرکت می‌کند در جریان برگشتی کار می‌کند و برای اینکه این تیغه بتواند نیروی برآی لازم را ایجاد کند، قسمتهای خارجی آن باید در زوایای حمله بزرگتری کار کنند که این ممکن است باعث استال دینامیکی شود. برخلاف پرنده‌های دارای بال ثابت که دنباله پشت بالها به سرعت به نواحی دور از هوایی منتقل می‌شود، گردابهای پرقدرتی که در نوک تیغه‌ها به وجود می‌آیند در نزدیکی رotor باقی می‌مانند و در نتیجه بر میدان جریان تسلط دارند و بارهای به شدت ناپایای سه-بعدی و بسیار پیچیده ایجاد می‌کنند. در نهایت، تغییرات سریعی که در هر گردش Rotor، رخ می‌دهد ممکن است

باعث ایجاد خمث سازه ای و تغییر شکلهاي پیچشی آن شوند که هنگام طراحی سازه ای روتور باید به طور مناسبی مدل شوند.

یانگ و سنکر<sup>1</sup> و دیگران[1] و همچنین هاری هاران و سنکر<sup>2</sup>[2]، تاریخچه ای اجمالی از روشهاي عددی مورد استفاده توسط محققین مختلف در شبیه سازی جريان حول روتور ارائه کرده اند. کانلیسک<sup>3</sup>[3]، پس از ارائه مبانی آيرودینامیک جريان حول تیغه های روتور، روشهاي اصلی تحلیل، محاسبه و آزمایش روتور را توضیح داده است.

به طور خلاصه می توان گفت در ابتدای راه از روشهاي تحلیل دنباله آزاد، روشهاي خطوط / سطوح گردابه و يا روشهاي پانل استفاده می شده است. سپس با افزایش حافظه و توانایی رایانه ها امکان استفاده از روشهاي میدانی نیز فراهم گردیده است به طوری که این روشها از حل معادلات پتانسیل جريان به معادلات اولر و اخیراً معادلات ناویر- استوکس پیشرفت کرده است.

بر هم کنش آيرودینامیکی میان روتور و بدنه نیز موضوع مهمی است که از شروع طراحی يك بالگرد جدید باید در نظر گرفته شود. هندسه بدنه بالگرد نسبتاً ناهموار است به طوری که می تواند موجب جدایش جريان و ایجاد گردابه شود. اثر متقابل جريان ناشی از روتور و جريان حول بدنه، باعث به وجود آمدن پدیده های بسیاری است که شرایط پروازی را محدود می سازند. از آن جمله می توان به تغییر کارایی، افزایش سطح آلودگی صوتی (چه در داخل و چه در خارج بالگرد) و پاسخ پیچیده بالگرد به فرامین خلبان اشاره کرد.

بچارت<sup>4</sup>[4] در مقاله خود به کارهایی که در ONERA<sup>5</sup> برای پیش بینی بر هم کنش میان روتور و بدنه انجام شده است، اشاره می نماید و از آن جمله کد پرف<sup>6</sup> که يك ترکیب از دو روش پانل (يکی برای روتور و دیگری برای بدنه) است را عنوان کرده است. چنین روشهايی با توجه به محدودیتهای جريان پتانسیل نمی توانند اثرات لزجت را در نظر بگیرند.

در ادامه بدون توجه به روشهاي گوناگونی که برای شبیه سازی جريان حول بالگرد به کار گرفته شده است، توجه خود را تنها به استفاده از تئوري دیسک فعال ساز<sup>7</sup> (A.D.) معمول می کنیم. در این روش روتور با يك دیسک، که مسیر عبور تیغه های آن را می پوشاند جایگزین می شود و با فرض حالت پایا، اثر دینامیکی متوسط آن مدل می شود. برای این نحوه مدلسازی روتور دو دیدگاه وجود دارد. عدهای با اعمال يك سری شرایط مرزی در

<sup>1</sup> Yang, Sankar

<sup>2</sup> Sankar, Hariharan

<sup>3</sup> Conlisk

<sup>4</sup> Bettschart

<sup>5</sup> Office National d'Etudes et Recherches Aérospatiales, France

<sup>6</sup> PEIRF (Programme d'Etude d'Interaction Rotor/Fuselage)

<sup>7</sup> Actuator Disk

موقعیت روتور، اثر آن را در نظر گرفته‌اند و افرادی دیگر، اثر روتور را با اضافه کردن جملات چشمی به معادلات مختلف جریان به وجود آورده‌اند که در ادامه بعضی از این کارها را مرور می‌کنیم.

چافین<sup>۱</sup>[۵]، یک پرش در فشار و سرعت مماسی بر روی دیسک اعمال کرده است و آن را دیسک فشار نامیده است. او از این روش برای تخمین اثر روتور بالگرد یا ملخ هواپیما بر اجزای آیرودینامیکی آنها استفاده کرده است.

چویتون<sup>۲</sup>[۶]، شرایط مرزی به کار گرفته شده برای A.D. را به سه دسته طبقه‌بندی کرده است. به عنوان روش اول، شرط مرزی را بر روی متغیرهای معادلات جریان اعمال کرده است. سپس، یک بار با استفاده از «روش مشخصه» بر روی متغیرهای مسئله و بار دیگر بر روی عبارات شار موجود در معادلات، شرایطی اعمال کرده است.

برایان<sup>۳</sup>[۷] برای اعمال A.D. در شبکه حل، آن را یک بار به عنوان سطحی بین دو مجموعه از سلولها در نظر گرفته است و مجدداً در دیدگاهی عمومی‌تر (برای ساده شدن شبکه‌سازی) اجازه داده است که این سطح به طور آزاد شبکه محاسباتی را قطع کند و سپس عبارتهای چشمی را به روش‌های مختلف (یکنواخت، خطی، BET<sup>۴</sup>) بر روی A.D. توزیع کرده است و نتایج خود را با آزمایش‌های تجربی مقایسه نموده است. بتچارت[۴] تیغه‌های چرخان روتور را با یک دیسک بینهایت نازک، جایگزین کرده است که مومنت و انرژی جریان با عبور از آن، به اندازه کار و انرژی که روتور به آن می‌دهد، افزایش پیدا می‌کند. شرط مرزی دیسک در فصل مشترک دو بلوک شبکه قرار دارد و بر مبنای تئوری مشخصه‌هاست. شار در قسمت بالایی سطح روتور، از شرط مرزی خروجی مادون صوت کلاسیک به همراه بقای جرم محلی، محاسبه شده است. برای قسمت تحتانی آن، از شرط مرزی ورودی زیر صوت استفاده شده است و شار، با اضافه کردن یک بردار چشمی متناظر با انرژی و مومنت متوسط زمانی روتور، محاسبه شده است. بتچارت یک بار از توزیع یکنواخت تراست، متناظر با پرش فشار بر روی دیسک، استفاده کرده است و بار دیگر، برای توزیع تراست از کد خارجی مtar<sup>۵</sup> که توسط یوروکوپتر<sup>۶</sup> برای محاسبات آیرودینامیکی روتور تولید شده بود، استفاده کرده است و جریان حول یک بالگرد ۸ تنی را شبیه‌سازی کرده است.

پیرو قراردادی برای مطالعه بالگرد، سه گروه مختلف کاری در AFDD<sup>۷</sup>، ONERA<sup>۸</sup> و GIT<sup>۹</sup>، هر یکی با کدهای CFD مختلفی که در اختیار داشته‌اند، جریان حول بالگرد Dauphin 365N را حل کرده‌اند. آنها در این

<sup>1</sup> Chaffin

<sup>2</sup> Chuiton

<sup>3</sup> M. O'Brien

<sup>4</sup> Blade Element Theory

<sup>5</sup> METAR (Modele d'Etude de l'Aérodynamique du Rotor)

<sup>6</sup> EUROCOPTER

<sup>7</sup> The US Army Aeroflightdynamics Directorate

<sup>8</sup> Georgia Institute of Technology

کار از یک نوع روش خطوط برآزا<sup>۱</sup> استفاده کرده‌اند. هر سه گروه توانسته‌اند، ضرایب فشار در اکثر نقاط بالگرد را به نحو قابل قبولی پیش‌بینی کنند اما نیروهای وارد بر بالگرد را نتوانسته‌اند به خوبی پیش‌بینی کنند [۸]. آلمون و لانگ<sup>۲</sup> [۹]، ابتدا تراست روتور دم بالگرد Comanche را با استفاده از دیدگاه متوسط زمانی به کمک BET به صورت تابعی از گام کلی آن و سرعت پرواز به دست آورده‌اند و سپس از این تابع در شبیه سازی جریان ناپایا، برای درک حساسیت کنترل سمتی بالگرد به تغییر گام کلی روتور دم آن استفاده کرده‌اند.

راجاگوپالان<sup>۳</sup> [۱۰] در مقاله خود، گزارشی از پروژه‌های موفقیت‌آمیزی که با دانشجویان خود در پیش‌بینی کارایی ملخ هوایپما، حل جریان حول روتور تنها در شرایط پرواز عمودی و پرواز رو به جلو و تحلیل برهم‌کنش میان روتور و بدن بالگرد با استفاده از به کار گیری جملات چشمی مومنتم انجام داده، ارائه کرده است.

برای دیدگاه متوسط زمانی، علاوه بر موارد ذکر شده، می‌توان کاربردهایی همچون توزیع دود موتور<sup>۴</sup> و همچنین توزیع دما بر روی بدن بالگرد، متصور شد.

## ۱-۲- دورنمایی از پروژه

در این پروژه قصد داریم روشی را برای شبیه‌سازی جریان حول بالگرد در حضور روتور با فرض حالت پایا (دیدگاه متوسط زمانی) بررسی کنیم. برای این کار، اثر دینامیکی متوسط زمانی روتور را توسط اضافه کردن عبارتهای چشمی به معادلات مومنتم در یک حجم حلقوی در شبکه حل که متناظر با روتور است، به وجود می‌آوریم. در این پروژه از نرم‌افزار فلوئنت<sup>۵</sup> برای حل معادلات جریان استفاده کرده‌ایم. به همین دلیل در خلال مباحث، توضیحاتی راجع به چگونگی اعمال روش در این نرم‌افزار ارائه می‌کنیم. در فصل دوم، مبانی این روش شبیه‌سازی به همراه شیوه‌های مختلفی که برای توزیع عبارتهای چشمی بر روی روتور به کار گرفته‌ایم، به طور کامل توضیح داده شده است. ناسا، در تونل باد لانگلی<sup>۶</sup> آزمایشی را بر روی یک بالگرد مدل در چند حالت مختلف از سرعت جریان آزاد و نیروی تراست روتور انجام داده است. از این آزمایش برای سنجش اعتبار روش کار خود بهره گرفته‌ایم. هندسه بالگرد، مشخصات روتور و دیگر شرایط این آزمایش را در فصل سوم آورده‌ایم. برای شبیه‌سازی، از مدل اغتشاش k- $\epsilon$  استاندارد استفاده کرده‌ایم. معادلات حاکم بر حرکت سیال و همچنین شرایط مرزی به کار گرفته شده، موضوع فصل

<sup>1</sup> Lifting line method

<sup>2</sup> Alpman, Long

<sup>3</sup> Rajagopalan

<sup>4</sup> Engine plume distribution

<sup>5</sup> FLUENT

<sup>6</sup> Langley

چهارم می‌باشد. در فصل پنجم، نتایج حاصل از شبیه‌سازی عددی را با داده‌های تجربی مقایسه کرده‌ایم. نتایج به-دست آمده از روشهای مختلف توزیع نیرو بر روی صفحه روتور با یکدیگر مقایسه شده است. معادلات جریان برای بالگرد مدل در دو نسبت پیشروش ۰.۰۵ و ۰.۲۳ برای سه ضریب تراست اسمی ۰.۰۶، ۰.۰۴ و ۰.۰۸ در شرایطی مشابه با تونل باد (جریان داخلی) حل شده است. در ضمن برای دو مورد از شش حالت پروازی گفته شده، تمامی روشهای مختلفی که در فصل دوم برای توزیع نیرو بر روی روتور عنوان می‌شود، به کار گرفته شده است. برای بررسی امکان بکارگیری روش در شرایط پرواز واقعی بالگرد مسئله به صورت جریان خارجی نیز حل شده است. در نهایت، ضرایب فشار در نقاط مختلف بالگرد با نتایج تجربی موجود، مقایسه شده و مزایا و معایب روشهای مختلف توزیع نیرو در فصل پنجم مورد بررسی قرار گرفته است. برای اضافه نمودن عبارتهای چشمی به معادلات جریان در FLUENT نوشته شود. این برنامه‌ها به همراه توضیحات مربوطه در پیوست آورده شده باید برنامه‌ای به زبان C باشد.

## فصل دوم

### شبیه‌سازی روتور با استفاده از عبارتهای چشمۀ مومنتم

#### ۱-۲ - کلیات روش

تیغه‌های روتور با حرکت خود، مقدار معینی مومنتم به سیال می‌دهند. بنابراین معقول به نظر می‌رسد که فرض شود حضور تیغه‌های در حال چرخش می‌تواند توسط چشمۀ هایی در معادلات مومنتم، مدل شود. استفاده از چشمۀ های مومنتم، تیغه‌ها را تا نقاط نزدیک به آنها شبیه‌سازی می‌کند، اما به دلیل عدم حضور جسم جامد در موقعیت تیغه‌ها، لایه مرزی روی تیغه‌ها را حل نمی‌کند. در عوض با توجه به کاهش سلولهای لازم در اطراف تیغه‌ها و همچنین فرض پایا بودن جریان، به سوپر کامپیوتر احتیاج نخواهد بود و زمان محاسبات نیز به شدت کاهش پیدا می‌کند.

جزئیات روش، به سه قسمت معادلات مورد استفاده، ارزیابی نیروهای تولید شده توسط روتور و جفت کردن آنها با معادلات و روش حل تقسیم می‌شود. نوع معادلات مورد استفاده شامل اولر، ناویر-استوکس آرام، ناویر-استوکس به همراه مدلسازی توربولانس بر دقت نتایج و البته زمان محاسبات اثر می‌گذارد و انتخاب آنها به میزان دقت لازم و حافظه و توانایی رایانه مورد استفاده بستگی دارد. در این پژوهه، از معادلات ناویر-استوکس به همراه مدل اغتشاش  $E-k$  استاندارد استفاده شده است. چگونگی توزیع نیروها، در بخش‌های بعدی همین فصل توضیح داده می‌شود. الگوریتم عددی مورد استفاده ممکن است بر زمان همگرایی جواب تاثیر بگذارد.

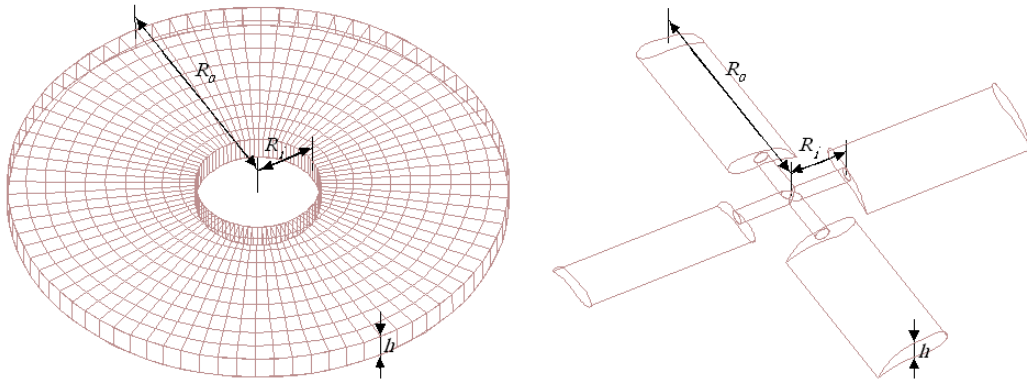
معادله مومنتم برای جریان پایای آرام با صرفنظر از نیروی گرانش در شکل تansوری به صورت زیر نوشته می‌

شود:

$$\frac{\partial}{\partial x_j}(\rho u_i u_j) = -\frac{\partial p}{\partial x_i} + \frac{\partial}{\partial x_j} \left[ \mu \left( \frac{\partial u_i}{\partial x_j} + \frac{\partial u_j}{\partial x_i} - \frac{2}{3} \delta_{ij} \frac{\partial u_i}{\partial x_j} \right) \right] + S_i \quad (1-2)$$

که  $\mu$ ، لزجت مولکولی و  $S_i$ ، عبارت چشمی برای جهت  $i$  می‌باشد که برابر با مولفه  $\dot{t}$  ام نیروی ناشی از روتور بر روی سیال در واحد حجم قرار داده می‌شود.

از روش حجم محدود برای حل معادلات، در فلؤئنت استفاده می‌شود. عبارتهای چشمی به سلولها نسبت داده می‌شود. برای اضافه کردن عبارتهای چشمی به مجموعه‌ای از سلولها، آن سلولها باید در یک ناحیه<sup>۱</sup> مجزا قرار داده شود. گمیت<sup>۲</sup>، یک نرم افزار تولید شبکه است که به عنوان پیش‌پردازنده برای فلؤئنت استفاده می‌شود. تعریف سلولهای فوق، به عنوان ناحیه‌ای مجزا در نرم افزار گمیت انجام می‌شود. واحد عبارات چشمی در معادلات، برابر با «نرخ تولید کمیت بر حجم» است که برای معادله مومنتم برابر با  $N/m^3$  می‌شود. با توجه به شکل روتور، ناحیه مربوط به آن، حجمی حلقوی دارای شعاع خارجی برابر با شعاع روتور، شعاع داخلی برابر با بریدگی ریشه روتور و ضخامتی در حدود ضخامت تیغه‌های روتور می‌باشد و در این ضخامت همانطور که در شکل ۱-۲ مشاهده می‌شود، تنها یک ردیف سلول قرار می‌گیرد.



شکل ۱-۲- ابعاد روتور واقعی و ناحیه روتور شبکه‌بندی شده

## ۲-۲- انواع توزیع چشمی

برای نسبت دادن عبارت چشمی به سلولهای مختلف در ناحیه روتور یا به عبارت دیگر بارگذاری بر روی صفحه روتور، راههای گوناگونی وجود دارد. در این بخش چهار مورد از آنها، توضیح داده می‌شود. در فصل آخر، نتایج

<sup>1</sup> Zone

<sup>2</sup> GAMBIT

حاصل از به کارگیری این روشها و مزايا و معایب آنها نسبت به یکدیگر بررسی خواهد شد. در حالتی که مقداری متغیر برای جملات چشميه به سلولها نسبت داده میشود، نیاز به نوشتند <sup>۱</sup> udf باشد که در پیوست ارائه شده است.

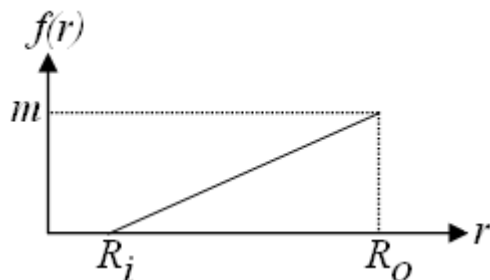
### ۲-۱- توزيع یکنواخت

در اين روش، فرض میشود تمام صفحه روتور نيري یکنواختي به هوا وارد میکند. با توجه به ضخامت ثابت ناحيه روتور، مقدار نيري روتور در واحد حجم مقداري ثابت برابر با نيري تراست بر حجم کل ناحيه روتور خواهد بود. با تجزيء اين نيري، مقدار عبارت چشميه برای معادلات مومنتوم در راستاي محورهاي مختصات به دست میآيد.

### ۲-۲- توزيع خطى

در قسمت متناظر با ريشه تيغهها در حجم حلقوی مربوطه، جملات را صفر قرار میدهيم. جملات به طور خطى افزایش میيابند و در شعاع روتور به مقدار بيشينه خود میرسند. در عين حال باید نيري حاصل از کل اين جملات برابر با نيري تراست باشد. برای محاسبه جملات به اين روش، ابتدا نيرو بر واحد سطح روتور که تابعی از فاصله  $r$  تا مرکز روتور میباشد را میيابيم. با توجه به خطى بودن، تابع به صورت زير خواهد بود:

$$f(r) = m \times \frac{r - R_i}{R_o - R_i} \quad (2-2)$$



شکل ۲-۲- تابع خطى نيرو بر واحد سطح روتور

در رابطه فوق،  $m$  مقدار ماکزيم تابع است که در  $R_o$  حاصل میشود. از آنجا که انگرال تابع بر روی سطح روتور باید برابر با نيري تراست روتور باشد، میتوانيم بنويسيم:

$$T = \int_{R_i}^{R_o} f(r) \times 2\pi r dr = 2\pi \int_{R_i}^{R_o} \left( \frac{m}{R_o - R_i} \right) (r^2 - R_i r) dr \quad (3-2)$$

$$\Rightarrow T = \frac{2\pi m}{R_o - R_i} \times \left( \frac{R_o^3 - R_i^3}{3} - \frac{R_o^2 - R_i^2}{2} \times R_i \right) \quad (4-2)$$

<sup>1</sup> user-defined function

از رابطه فوق، مقدار  $m$  به دست می‌آید و در نتیجه  $f$  را می‌توان به صورت زیر نوشت:

$$f(r) = \frac{T}{2\pi(\frac{R_o^3 - R_i^3}{3} - \frac{R_o^2 - R_i^2}{2} \times R_i)} (r - R_i) \quad (5-2)$$

اگر  $h$ ، ضخامت ناحیه روتور و  $\bar{n}$  برداری واحد، عمود بر روتور و در سوی نیروی تراست باشد، عبارتهای چشمی معادلات مومنتم برای سلولی که در فاصله شعاعی  $r$  از مرکز روتور قرار دارد از روابط زیر به دست می‌آیند:

$$S_x = -\frac{f(r)}{h} \bar{n} \cdot \vec{e}_x; S_y = -\frac{f(r)}{h} \bar{n} \cdot \vec{e}_y; S_z = -\frac{f(r)}{h} \bar{n} \cdot \vec{e}_z \quad (6-2)$$

بردار یکه در راستای محور  $i$  می‌باشد و وجود علامت منفی به این دلیل است که باید نیروی در خلاف  $\bar{e}_i$  جهت تراست به سیال وارد شود.

### ۳-۲-۳- توزیع به کمک تئوری المان پره<sup>۱</sup>

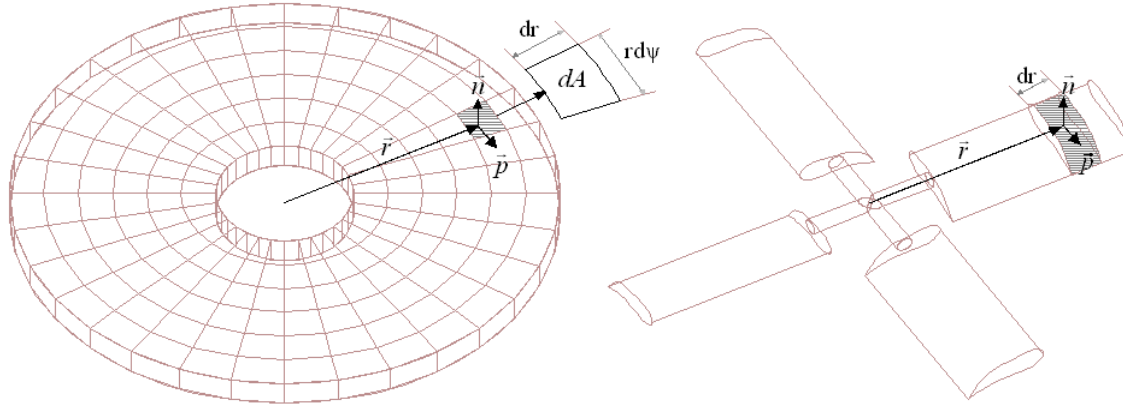
در صورتیکه سرعت برخورد جریان هوا و زاویه برخورد آن با یک ایرفویل دو بعدی را داشته باشیم با استفاده از نتایج آزمایشگاهی برای ضریب لیفت و درگ و روابطی بسیار ساده، نیروی وارد بر ایرفویل را می‌توانیم به دست آوریم. تیغه‌های روتور را می‌توان به صورت مجموعه‌ای از ایرفویلهای که در کنار یکدیگر قرار گرفته‌اند در نظر گرفت. با استفاده از روش بسیار ساده فوق و البته در نظر گرفتن بعضی تصحیحات برای سه بعدی بودن جریان، به هر برش کوچک از روتور بالگرد می‌توان نیروی نسبت داد. مجموع نیروهای وارد بر مقاطع کوچکی که در کنار یکدیگر قرار گرفته‌اند، تخمین بسیار خوبی برای نیروی وارد بر روتور (یا بال هوایپیما) می‌باشد. مطالب فوق، اساس تئوری المان پره است. البته، چگونگی به کار گیری این نظریه برای روتور بالگرد، بال و یا ملخ هوایپیما تفاوت‌هایی با یکدیگر دارد که خارج از موضوع بحث ما می‌باشد.

در این قسمت می‌خواهیم چگونگی استفاده از این نظریه را برای محاسبه نیروی وارد بر مقاطع مختلف روتور (یا به عبارت دیگر محاسبه عبارتهای چشمی برای سلولهای مختلف ناحیه روتور) توضیح دهیم. ابتدا باید سرعت و زاویه برخورد جریان هوا با مقاطع مختلف تیغه‌ها را بیایم. فرض کنید می‌خواهیم نیروی را که برش نشان داده شده در شکل ۳-۲ از تیغه روتور بر روی سیال وارد می‌کند محاسبه کنیم. برای تعیین وضعیت حرکت از سه بردار استفاده می‌کیم.  $\bar{r}$ ، برداری است که مرکز روتور را به مقطع موردنظر از تیغه وصل می‌کند. بردار واحد  $\bar{n}$  را عمود بر جهت حرکت روتور تعریف می‌کنیم که با توجه به تعریف شبکه، تعیین می‌شود. بردار  $\bar{P}$ ، برداری واحد در خلاف جهت

<sup>۱</sup> Blade Element Theory

حرکت روتور است که با توجه به تعاریف  $\vec{r}$  و  $\vec{n}$  می‌توان آن را به صورت زیر محاسبه کرد:

$$\vec{p} = \frac{1}{|\vec{r}|} \vec{r} \times \vec{n} \quad (7-2)$$



شکل ۲-۳- تعیین وضعیت حرکت مقطعی از تیغه در کنار سلول متناظر از ناحیه روتور

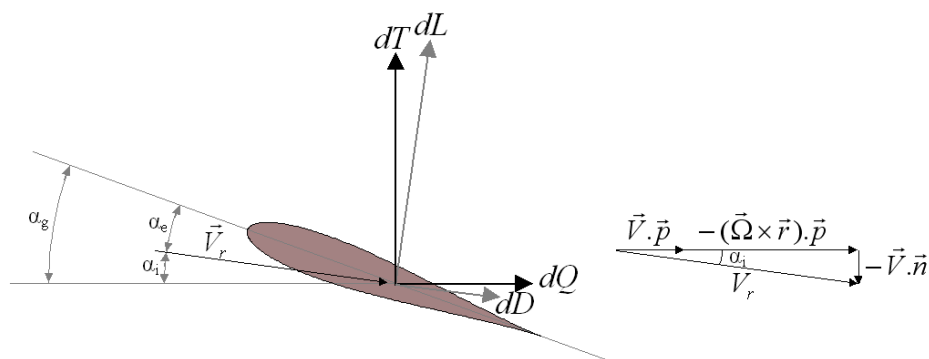
سرعت جریان هوا،  $\vec{V}$  از حل معادلات توسط فلوئنت فراهم می‌شود.  $\vec{V} \cdot \vec{n}$  مولفه سرعت هوا در جهت عمود بر مسیر تیغه‌های روتور است.  $\vec{p} \cdot \vec{V}$  مولفه سرعت جریان آزاد در راستای موازی با مسیر تیغه‌ها می‌باشد. سرعت هوا نسبت به روتور در راستای حرکت روتور را می‌توان از مجموع سرعت جریان هوا در راستای روتور و سرعت حرکت روتور به دست آورد.

$$V_{rp} = \vec{V} \cdot \vec{p} + (\vec{r} \times \vec{\Omega}) \cdot \vec{p} \quad (8-2)$$

که  $\vec{\Omega}$  بردار سرعت زاویه‌ای روتور است. همچنین اندازه سرعت نسبی هوا برابر خواهد بود با

$$V_r = \sqrt{(\vec{V} \cdot \vec{p} + (\vec{r} \times \vec{\Omega}) \cdot \vec{p})^2 + (\vec{V} \cdot \vec{n})^2} \quad (9-2)$$

حالا می‌خواهیم زاویه برخورد هوا با مقطع را تعیین کنیم. زاویه‌ای که هر مقطع از تیغه با صفحه روتور می‌سازد، زاویه حمله هندسی نامیده می‌شود. این زاویه با توجه به مشخصات فنی روتور از رابطه‌ای مشابه با رابطه زیر به دست می‌آید:



شکل ۲-۴- محاسبه نیروی وارد بر روی برشی از تیغه

$$\alpha_g = \theta_c - A_1 \cos\psi - B_1 \sin\psi - (0.75 - \frac{r}{R})\alpha_i \quad (10-2)$$

که گام کلی،  $A_1$  و  $B_1$  گامهای دورهای جانبی و طولی و  $\alpha_i$  زاویه پیچش روتور می‌باشند.  $R$  شعاع روتور و  $r$ ، زاویه دوران روتور است که از روی دم بالگرد اندازه گیری می‌شود. است. تنها متغیرهای رابطه فوق،  $r$  و  $\psi$  هستند که برای هر سلول در ناحیه روتور معلوم می‌باشند. زاویه حمله هندسی از زاویه برخورد واقعی جریان هوا با مقطع به اندازه  $\alpha_i$ ، انحراف دارد. با توجه به شکل،  $\alpha_i$  از رابطه زیر تعیین می‌شود:

$$\alpha_i = \arctan\left(\frac{-\vec{V} \cdot \vec{n}}{\vec{V} \cdot \vec{p} + (\vec{r} \times \vec{\Omega}) \cdot \vec{p}}\right) \quad (11-2)$$

زاویه برخورد موثر را می‌توان با کم کردن  $\alpha_i$  از  $\alpha_g$  به دست آورد:

$$\alpha_e = \alpha_g - \alpha_i \quad (12-2)$$

با داشتن  $\alpha_e$  و سرعت باد نسبی، ضریب لیفت و درگ را می‌توان از جدول خواند. نیروهای لیفت  $dL$  و درگ  $dD$  وارد بر مقطعی از ایرفویل به پهنهای  $dr$  و طول وتر  $c$  از روابط زیر به دست می‌آیند:

$$dL = \frac{1}{2} \rho_\infty V_r^2 c_l c dr \quad (13-2)$$

$$dD = \frac{1}{2} \rho_\infty V_r^2 c_d c dr \quad (14-2)$$

که  $c_l$  ضریب لیفت،  $c_d$  ضریب درگ،  $\rho_\infty$  چگالی جریان آزاد هوا می‌باشد.  $dr$ ، پهنهای مقطع یا به عبارت دیگر فاصله شعاعی است که هر سلول در بر می‌گیرد. حجم هر سلول توسط نرم افزار فلوئنت در دسترس است. برای حجم هر سلول، رابطه زیر را می‌توان نوشت:

$$dv = h r d\psi dr \quad (15-2)$$

و  $d\psi$  از روی شبکه معلوم هستند.  $r$  نیز فاصله مرکز روتور است و از روی مختصات مرکز  $h$

سلول توسط فلوئنت در دسترس است. به این ترتیب  $dr$  از رابطه زیر به دست می‌آید:

$$dr = \frac{dv}{h r d\psi} \quad (16-2)$$

از طرفی، هر تیغه تنها کسری از زمان برابر با  $\frac{d\psi}{2\pi}$  را بر روی سطح سلول می‌گذراند و اگر تعداد تیغه‌ها ( $N$ ) را

نیز در نظر بگیریم، برای به دست آوردن نیروی متناظر با هر سلول باید مقادیر  $dL$  و  $dD$  را در  $\frac{d\psi}{2\pi} N$  ضرب نماییم.

نیروی وارد بر هر مقطع ایرفویل از برایند نیروهای لیفت و درگ با در نظر گرفتن ضرایب فوق به دست می‌آید. با

تجزیه این نیرو در راستای  $\vec{n}$ ،  $dT$  و در راستای  $\vec{p}$ ،  $dQ$  به دست می‌آیند:

$$dT = N \frac{d\psi}{2\pi} (dL\cos(\alpha_i) - dD\sin(\alpha_i)) \quad (17-2)$$

$$dQ = N \frac{d\psi}{2\pi} (dL\sin(\alpha_i) + dD\cos(\alpha_i)) \quad (18-2)$$

همین نیروها در جهت عکس، از جانب روتور به سیال وارد می‌شود که با در نظر گرفتن جهت بردارهای  $\bar{n}$  و  $\bar{p}$  با محورهای مختصات، می‌توان مقدار عبارت چشمی برای هر سلول را به صورت زیر محاسبه کرد:

$$S_x = -(n_x dT + p_x dQ) \quad (19-2)$$

$$S_y = -(n_y dT + p_y dQ) \quad (20-2)$$

$$S_z = -(n_z dT + p_z dQ) \quad (21-2)$$

که زیرنویسهای  $x$ ،  $y$  و  $z$  مولفه‌های  $\bar{n}$  و  $\bar{p}$  را در راستای محورهای مختصات کارتزین مشخص می‌کنند.

#### ۲-۴-توزیع تئوری المان پره به همواه اصلاح نیروها

جريان حول روتور، سه‌بعدی است. زاویه گام روتور در هر گردش، حول یک مقدار ثابت به صورت دوره‌ای تغییر می‌کند. با توجه به متفاوت بودن این شرایط با شرایط جريان پایای دو بعدی حول ایرفویل، مجموع نیروهای به دست آمده برای مقاطع مختلف روتور از قسمت قبل با نیروی واقعی تراست روتور تفاوت دارد. همچنین می‌دانیم که گشتاور حول هاب روتور باید صفر باشد زیرا در غیر این صورت، روتور تا جایی که گشتاور صفر شود خواهد چرخید. پیش‌بینی صحیح کارایی بالگرد و بارهای آیرودینامیکی وارد بر آن حاصل نخواهد شد، مگر اینکه شرایط فوق برای گشتاور و نیروی تراست ارضا شود. به همین منظور، زوایای گام روتور را باید در طی حل به مرور تغییر داد تا جایی که به شرایط مورد نظر رسید. به این کار، تریم<sup>۱</sup> یا اصلاح می‌گویند.

#### ۳-۲-توضیحاتی راجع به شرایط پیچیده‌تر

در این فصل، چهار روش مختلف برای توزیع جملات چشمی بر روی روتور، توضیح داده شد. برای توزیع یکنواخت و خطی می‌توان در ناحیه روتور از شبکه غیرسازمان یافته نیز استفاده کرد و تفاوتی میان شبکه‌بندی سازمان-یافته دایروی و غیرسازمان یافته بر روی صفحه روتور وجود ندارد. اما در حالتی که از BET برای توزیع جملات استفاده می‌شود، فرمول بندی مسئله برای شبکه سازمان یافته ساده‌تر است زیرا بعضی کمیتها مانند  $dr$  که پهنه‌ای مقطع تبعه بود و همچنین کسری از زمان که برش تیغه روی سلول مورد نظر قرار می‌گیرد ( $d\psi/2\pi$ ) در شبکه‌بندی

<sup>1</sup> Trim